

# 粘土構造とせん断強さに関する研究 (I)

名城大学 理工学部 正員 岡田 富士夫

## 1. まえがき

粘土の力学的挙動は土の種類、先向応力の履歴、間ゲキ水の質と量、土粒子の配向・配列(構造)などによって支配されることが、幾多の研究者によって明らかにされつつある。<sup>1)</sup>

近年、土の強度係数の差異は土粒子の初期の配向状態によるものと考え、電子顕微鏡、X線回折の手法は土構造を決定するに採用されている。<sup>2), 3)</sup>

X線回折応用の手法は造成堆積粘土の構造判別のために実用に供するかどうか試みた結果、混合粘土試料で構成されている場合においては、单一試料の構造変化の判別は困難であるが、相対的な変化は推定可能であるを得ている。<sup>4)</sup>

しかし、これまでの粘土の構造に関する多くの研究は、粘土を液状化してから、一次元または三次元的に強制的に圧密した試料について試みられていることが多い。わが国のように、急峻な地形をなす現地盤では、断層、褶曲、頃斜など複雑な状態で均衡を保っていると考えられる。

従って、自然地盤の土構造の把握と強度係数との関係を解明することは重要なことであると考えられる。本報告ではせん断過程における粘性土の構造変化について異なる方向での試料での強度係数を一面せん断試験によって求め、初期の構造との関係を検討したものである。

## 2. 試料および実験方法

実験に用いた試料は愛知県日進町産(赤池)で、現在、名古屋市地下鉄操作場の建設が行われている現場より採取したものである。試料の採取深度は地表面下16~18mであり、試料の $\gamma$ 値の平均値は5.0であり、粘土はかなり硬質なものである。異なる方向での試料は現地盤の鉛直軸に対する3角(θ)とし、この角度が0, 15, 30, 45, 60, 75, 90°の7種類を採取したものであり、試料の物理的性質はTable 1. に示してある。

Table 1. Index properties of sample

$G_s$	LL(%)	PL(%)	Sand(%)	Silt(%)	Clay(%)	A	Wn(%)	$\gamma_t(\text{g/cm}^3)$	$e$
2.848	73	31	1.3	63.7	35.0	2.31	30.3	1.984	0.87

X線回折による土構造観察のための供試体はMitchell 1956 とMartin 1966 が試みたほぼ同じ方法のPolyethylene glycol (Carbowax 6000)を用いる方法で、60°Cに溶解した溶液中に、供試体は2週間浸し、その後、ゆっくりと室温に降下させ、供試体は金剛石のAA 600, 600, 800, 1200-CWの順位で磨き、試料面の微細粒子はゼロテープで数十回除去した。<sup>5)</sup>

X線回折は30 KV, 電流10 mA, の Scale factor を常に一定で行った。

せん断過程における供試体は非圧密・急速せん断(1mm/min)でせん断せる過程であり、水平変位量が0.2mm間隔に1mm変位までから毎回についてせん断力を解放したものである。供試体の構造変化はせん断方向と同方向面の切片(H-section)と直交する面(V-section)を、ともに供試体の中央部分で得たものから試みることにした。

この試料の粘土鉱物の判定は無処理、熱処理( $110^{\circ}\text{C}$ )、エテレンクリコール処理、硝酸アンモニウム処理、酢酸カリ処理、酢酸マグネシウム処理を行った。X線回折曲線の変化より、判別した結果、試料の粘土鉱物の主成分は Montmorillonids, Chlorites, Halloysite であり、その他として、Quartz および Felspars の混在することが推察される試料である。

構造変化は Montmorillonids ( $2\theta=5^{\circ}, 17\text{\AA}$ ), Halloysite ( $2\theta=8.5^{\circ}, 10\text{\AA}$ ) および Chlorites ( $2\theta=12.5^{\circ}, 7\text{\AA}$ ) について、試みることにした。

### 3. セン断過程の構造変化

X線反射強さは Fig. 1 で

示す4つの測定法がある。

セン断過程の構造変化は P, PW の測定法に従つて行った。

この試験に供した試料は大き

い塊状より、平らな面を成形し、

同一方向面を有する供試体 18 個を作

成し、水平変位量が  $0.2 \text{ mm}$  間隔の

供試体を各々の 3 個についてである。

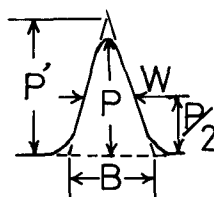
Table 2 はその測定結果を示す。

従つて、 $\tau$  ( $\text{kg/cm}^2$ ) の値は 3 ～ 15 の平均値であり、X線反射強さ (Hcps, Vcps) は 3 個の供試体に亘る平均値を意味する。

上段の結果は P 法によるものであり、下段のは PW 法により求めた結果である。

P と PW 法のいずれの結果も、 $17\text{\AA}$  の鉱物は著しい構造変化を示すことが認められる。また、その変化はセン断応力がてず時に沿うる変化で、最大の構造変化を示す傾向を表わしたものである。

P 法によつて構造変化を検討した時、 $10\text{\AA}$  と  $7\text{\AA}$  の結果は水平変位 H.D. の  $0.6 \text{ mm}$  以上の過程において、微少な変化 (Vcps の減少・Hcps の増加) が認められる。また、その変化は無視されてしまうほどであった。しかし、PW 法においては、P 法で無視されるような  $10\text{\AA}$  と  $7\text{\AA}$  の構造変化を起していゝ傾向であった。その変化は Vertical Section の強度の減少と Horizontal section の増加することが認められた。また、構造変化の降伏点は面間距離 ( $\text{\AA}$ ) によって異なる



P Peak height  
 P' Corrected peak height  
 PW Approximate triangle  
 PB Corrected triangle  
 $\frac{B}{2}$

Fig. 1. Methods of peak size measurement  
 (Mc Nail Bonelli 1968 and Kazi 1972a)

$\tau$ $\text{kg/cm}^2$	H.D. mm	$17\text{\AA}$		$10\text{\AA}$		$7\text{\AA}$	
		Hcps	Vcps	Hcps	Vcps	Hcps	Vcps
0	0	32.4	33.6	32.4	29.0	30.4	30.0
0.95	0.2	36.5	37.8	31.4	29.5	33.3	30.7
1.60	0.4	42.0	43.6	36.4	31.6	34.1	31.4
1.95	0.6	48.1	34.3	34.6	30.5	31.4	27.9
1.62	0.8	35.0	33.7	33.1	26.6	32.8	25.4
1.50	1.0	37.5	31.8	31.4	23.8	33.9	23.2

(PW)	$17\text{\AA}$		$10\text{\AA}$		$7\text{\AA}$	
	H.D. mm	Hcps	Vcps	Hcps	Vcps	Hcps
0	30.2	32.4	41.1	41.2	37.4	44.3
0.2	39.9	33.7	36.9	41.6	39.6	39.2
0.4	46.3	46.1	38.1	42.1	43.3	42.6
0.6	45.1	35.4	43.1	42.3	53.6	42.3
0.8	34.2	33.6	44.6	30.9	51.9	32.9
1.0	40.6	30.9	45.4	29.9	62.1	33.7

Table 2.

Relations between shear stress, shear displacement and intensity of X ray diffraction from horizontal and vertical section by P and PW.

いろいろ傾向であることが示めされた。その降伏角は面間距離の大きさ程、構造変化が早く降伏角に達する傾向と思われる変化であった。

#### 4. 試験体の方向による強度係数の変化とX線反射強度の関係

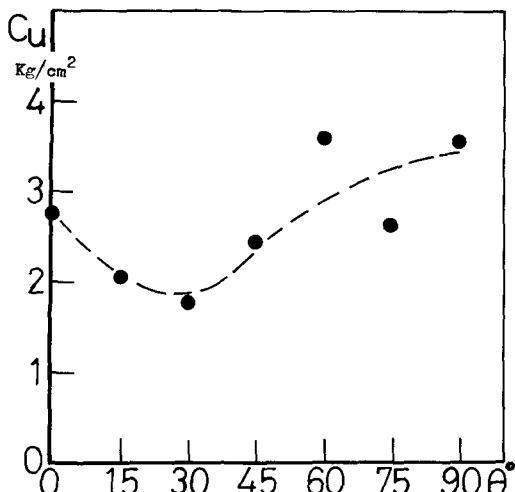


Fig. 2. Relation between Cohesion and angle of Shear plane from vertical plane.

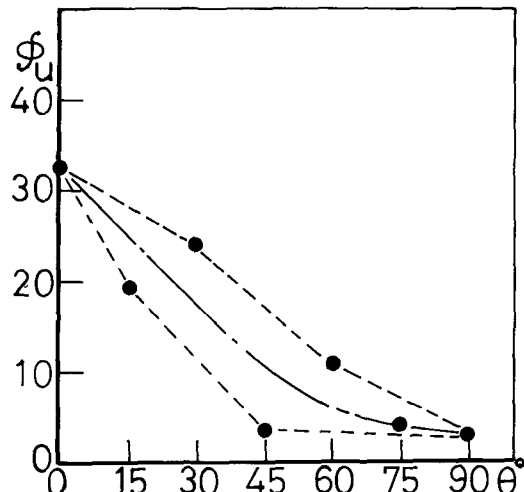


Fig. 3.  
Relation between angle of internal friction and angle of shear plane from vertical plane.

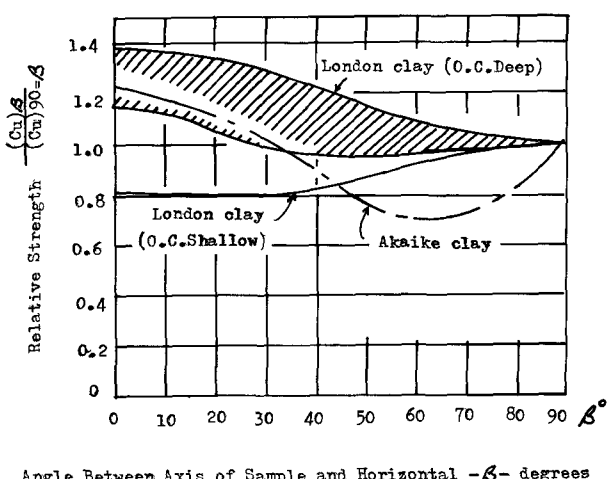
Fig. 2. および Fig. 3 は試験体のせん断面と鉛直軸とすす角( $\theta$ )が $0 \sim 90^\circ$ を $15^\circ$ 間隔で得た試料について、載荷直後にせん断過程に移る方法で求めた強度係数( $C_u$   $\text{kg}/\text{cm}^2$ )とゆいの変化を示した。

$C_u$ の変化量は最大と最小の差が $1.75 \text{ kg}/\text{cm}^2$ もあり、 $\phi_u$ では変化量が約 $30^\circ$ もあった。

$C_u$ とゆいは $\theta$ の $45^\circ$ 以上において、ほぼ一定値を得ることが分られた。

赤池粘土<sup>a</sup>James M. Duncan と H. Bolton Seed<sup>b</sup>の試験した粘土における異方性と応力の研究の London clay (O.C. Deep) と  $\beta = 30^\circ$ 位までの、比較的よく類似した傾向であることが Fig. 4 で判明した。しかし、地質構造変化の激しい我が国では、複雑な履歴の要因によるためか、赤池粘土の強度係数は運動の卓越していろいろ傾向が認められた。

Fig. 4 は X 線回折強度 ( $17\%$ ) 变化と粒着力  $C_u$  の相互関係を各方面に作成し、せん断面に直交する VCPs で検討した



Angle Between Axis of Sample and Horizontal -  $\beta$  - degrees

Fig. 4.  
Relation between change of  $\beta$  and Relative strength on  $C_u$ .

圖である。

X線回折 $17\text{\AA}$ Vcpsの結果はCuの変化する傾向とほぼ一致した変化をすることがわかった。

従つて、この結果は次のようすとの応用に役立つであろう。

我々が一般に地盤調査する時、試料は地表面に直交する鉛直の方向の供試体について、強度常数を求めることが多い。この時、近似するSectionからの土構造を計測することによって、全ての方向の強度常数の予測が可能と判断される傾向が得られた。

まとめ

以上、赤地粘土(深積粘土)に対する

X線回折でセん断過程の構造変化と地盤の強度常数の関係を知る目的の研究において、結果をまとめると次のようになる。

リセん断過程における土構造の変化は $\text{\AA}$ の大きな値ほど卓越した変化のあること、またその変化は子に近似する過程において、構造変化も急速であると判断された。

2) X線応用の手段によつて差がある。PとPW法を比較した場合、P法では顕著に確認できない $10\text{\AA}$ ,  $7\text{\AA}$ の変化が、PW法においては明確に認めることができることがわかった。

3) Duncan らが London clay において示したように、赤地粘土は London clay 以上で方向による強度常数の変化があることがわかった。また、Cuの変化と $17\text{\AA}$ (Vcps)の変化は、関係のある傾向の存在を認ることができた。

本研究において、多大な協力を与えられた土木工学科4年の竹口、神山、露崎および倉吉の4君と青木建設の高松主任に、深甚なる謝意を述べます。

参考文献

- 1) 山崎不二夫。山内豊監訳(1972)：R. N. Yen, B. P. ワーケンテン著『土質工学の基礎』鹿島出版
- 2) 松尾新一郎・宋永輝(1971)：締固め土の構造と工学的性質の相關性に関する微視的研究。土木学会論文報告集第189号。PP 63~77。

- 3) Ryumoshin Yoshimaka, Hidehiko Kazama(1973) : Micro-Structure of Compacted Kaolin clay, Soils and Foundation, Vol.13, No.2, PP 19~34

- 4) 岡田富士夫。山内豊監。松田滋(1974) : 一次元圧密の海成堆積粘土の構造変化について。九州大学工学集報第47巻第6号。PP 707~711。

5) Mitchell, J.K.(1956) : The fabric of natural clays and its relation to engineering properties. Proc. Highway Res. Bd., Vol.35. PP.693~713

6) James M.DUNCAN, and H.BOLTON SEED,(1966) : Anisotropy and Stress Reorientation in clay, Proc.A.S.C.E., Vol.92, SM 5, PP 21~50.

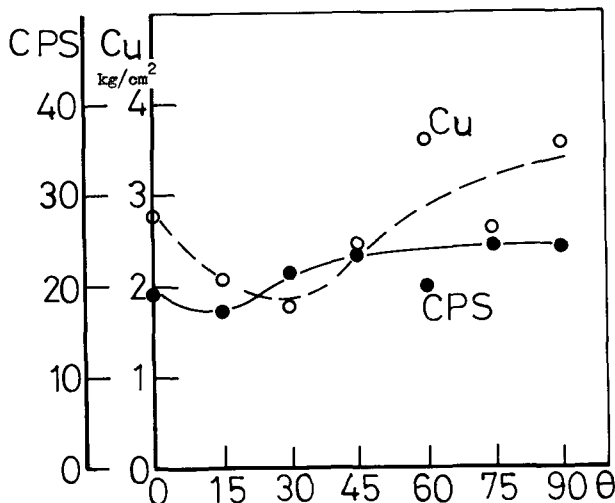


Fig. 5.  
Relation between intensity with  $17\text{\AA}$  of X-ray diffraction from vertical section and change of cohesion.